

С 323.2 + С 346.6

23/III-67

К-659

ОБЪЕДИНЕННЫЙ
ИНСТИТУТ
ЯДЕРНЫХ
ИССЛЕДОВАНИЙ

Дубна

P2-3182



Г.И. Копылов

СПЕКТР ЭФФЕКТИВНЫХ МАСС
В ПРОИЗВОЛЬНЫХ КАСКАДАХ

ЛАБОРАТОРИЯ ВЫСОКИХ ЭНЕРГИЙ

1967.

Спектр эффективных масс в произвольных каскадах

Формулируется рецепт, позволяющий выражать в квадратурах распределение по эффективной массе любых групп частиц, рожденных в произвольном каскаде.

**Препринт Объединенного института ядерных исследований,
Дубна, 1967.**

Effective Mass Spectrum in Arbitrary Cascades

• A recipe is formulated which allows to express in quadratures the distribution on effective mass of any groups of particles produced in an arbitrary cascade.

**Preprint, Joint Institute for Nuclear Research,
Dubna, 1967.**

P2-3182

4845 / 48

Г.И. Копылов

СПЕКТР ЭФФЕКТИВНЫХ МАСС
В ПРОИЗВОЛЬНЫХ КАСКАДАХ



Известно, что элементарные частицы предпочитают рождаться путем последовательных распадов резонансов. Расчет спектров эффективных масс в таких системах затруднителен. Пространство состояний при каскаде распадов представляет собою более или менее узкий "коридор" фазового пространства; форма и извилистость этого коридора могут прихотливо меняться от реакции к реакции.

Численный метод расчета спектра эффективных масс в каскадах предоставляет выдвинутая автором методика случайных звезд^{/1/}, реализованная в Дубне в виде программы ФОРС^{/2/}. В настоящей работе мы даем аналитический метод расчета, приложимый к сколь угодно сложным каскадам. Он возник в итоге обобщения расчетов^{/3-5/}, предпринятых для объяснения пика в спектре эффективных масс пар $\Lambda^0 \gamma$ ^{/6/}. Мы формулируем рецепт, позволяющий интеграл состояний произвольного каскада, в котором встречаются только распады на две частицы, представлять в виде кратного интеграла по эффективным массам (81). Этот интеграл позволяет получать спектр интересующих нас эффективных масс либо аналитически - путем перемены порядка интегрирования - либо с помощью численного алгоритма, пригодного для счетной машины. Здесь вводится также понятие многомерной фигуры Далица и показано, что для произвольного каскада с фиксированными массами возникающих в нем частиц такая диаграмма существует.

В § 2 каскады усложняются: формулируются правила для расчета спектра масс пар в произвольных каскадах, где встречаются распады на произвольное число частиц (а не только на пары). В § 3 правило обобщается на расчет спектра масс троек и четверок частиц. В § 4 приведены два примера конкретных расчетов, основная же масса подобных примеров была включена в работу^{/4/}.

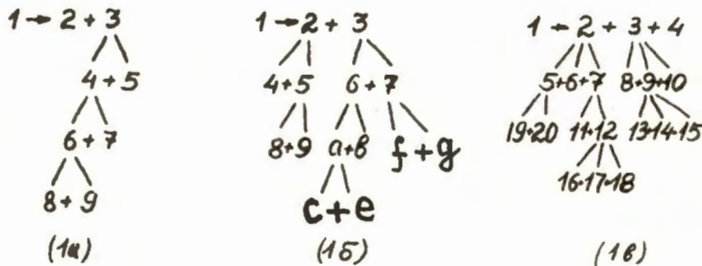
§ 1. Каскады распадов на две частицы

Мы будем рассматривать в статье каскады последовательных распадов произвольного вида. Три подобных каскада изображены на рис. 1 (а, б, в). Для общности мы не уточняем названия распадающихся частиц, а нумеруем их подряд, начиная с первичной частицы.

Нас интересует спектр квадратов эффективных масс: например, частиц 2 и 8 в каскаде (а), частиц 9 и с в каскаде (б), частиц 13 и 18 в каскаде (в). Задачей нашей будет дать рецепт, позволяющий при взгляде на произвольный сколь угодно сложный каскад написать кратный интеграл, из которого спектр эффективной массы выводится либо численно, либо с помощью квадратур. Задача будет решена в следующих предположениях:

- 1) верна гипотеза фазового объема, иными словами, принимаются в расчет только ограничения, вытекающие из законов сохранения энергии и импульса (не учитывается динамика взаимодействия); в частности,
- 2) все распады в каскаде изотропны;
- 3) массы всех частиц, входящих в каскад, известны и фиксированы; кроме того, временно в этом параграфе считается, что
- 4) интересуемся только спектром пар частиц;
- 5) все входящие в каскад частицы распадаются не более чем на две частицы.

В дальнейшем мы избавимся последовательно от ограничений 5(§2), 4(§3) и 3(§3). От ограничений 2 и 1 в несложных каскадах тоже удастся порою избавиться.



Р и с. 1

В этих предположениях приступим к решению. Сначала разберем подробно более простой вопрос, от понимания которого зависит решение общей задачи.

З а д а ч а. Фиксированы 4-импульсы p_0, p_1 и массы m_0, m_1 двух частиц, 0 и 1. Частица 1 распадается на частицы 2 и 3 с массами m_2 и m_3 . Найти спектр m_{02}^2 .

Р е ш е н и е. Напишем интеграл состояний для распада $1 \rightarrow 2 + 3$:

$$S = \int d^4 p_2 \delta(p_2^2 - m_2^2) d^4 p_3 \delta(p_3^2 - m_3^2) \delta^4(p_2 + p_3 - p_1). \quad (1)$$

Проинтегрируем по p_3 :

$$S = \int d^4 p_2 \delta(p_2^2 - m_2^2) \delta[(p_1 - p_2)^2 - m_3^2].$$

Введем вместо p_2 новую переменную p_{02} , используя фиксированный импульс p_0 :

$$p_{02} = p_0 + p_2 \quad (2)$$

Тогда

$$S = \int d^4 p_{02} \delta((p_{02} - p_0)^2 - m_2^2) \delta((p_0 + p_1 - p_{02})^2 - m_3^2).$$

Вычислим интеграл в системе, где $\vec{p}_0 + \vec{p}_1 = 0$. В этой системе импульс \vec{p}_0 принимает определенное значение, так что ω_0 и \vec{p}_0 известны:

$$S = \int d^4 p_{02} \delta(m_{02}^2 + m_0^2 - m_2^2 - 2\omega_{02}\omega_0 + 2|\vec{p}_{02}||\vec{p}_0|\eta_{02,0}) \times \\ \times \delta(m_{01}^2 + m_{02}^2 - m_3^2 + 2m_{01}\omega_{02}). \quad (3)$$

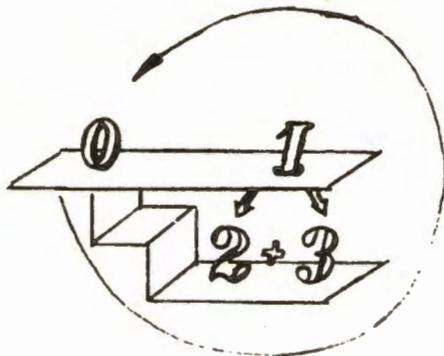
Отсчитывая \vec{p}_{02} от \vec{p}_0 , запишем $d^4 p_{02}$ в виде

$$d^4 p_{02} = \frac{1}{2} dm_{02}^2 \cdot |\vec{p}_{02}| d\omega_{02} \cdot d\eta_{02,0} d\phi_{02,0}. \quad (4)$$

Интегрирование даст

$$S = \int \frac{\pi/2}{2m_{01}|\vec{p}_0|} dm_{02}^2. \quad (5)$$

Пределы интегрирования здесь определяются как крайние значения $(p_0 + p_2)^2$ при фиксированных $(p_0 + p_2 + p_3)^2 = m_{01}^2$ и $(p_2 + p_3)^2 = m_1^2$. Эти величины обозначаются $F^\pm(0, 2, 3, 1, 01)$. Аргументы у F^\pm пишутся по кругу против ча-



Р и с. 2

совой стрелки (рис. 2). На этом рисунке в верхней части всегда помещаются исходные частицы, слева - нераспадающаяся, справа - распадающаяся. В нижней части помещаются продукты распада, слева - та частица 2, которая входит в пару 02. Мы имеем

$$F^-(0, 2, 3, 1, 01) \leq m_{02}^2 \leq F^+(0, 2, 3, 1, 01), \quad (6)$$

где

$$F^\pm \equiv m_{01}^2 + m_3^2 + 2\omega_{01}\omega_3 \pm 2p_{01}p_3, \quad (7)$$

$$\omega_{01} = \frac{m_{01}^2 + m_1^2 - m_0^2}{2m_1}, \quad \omega_3 = \frac{m_1^2 + m_3^2 - m_2^2}{2m_1}, \quad p_1 = \sqrt{\omega_{01}^2 - m_1^2}. \quad (8)$$

Далее, в системе покоя 01 имеем $|\vec{p}_0| = |\vec{p}_1|$, так что можно писать и $2m_{01}|\vec{p}_0|$, и $2m_{01}|\vec{p}_1|$. В дальнейшем знак $|\quad|$ мы писать не будем

$$2m_{01}p_0 = 2m_{01}p_1 = \sqrt{m_{01}^2 - (m_0 + m_1)^2} \sqrt{m_{01}^2 - (m_0 - m_1)^2}. \quad (9)$$

В итоге

$$S = \int_{F^-}^{F^+} \frac{\pi/2}{2m_{01}p_0} dm_{02}^2. \quad (10)$$

Сформулируем результат в виде леммы.

Л е м м а

Если частица 0 имеет импульс p_0 , а частица 1 с импульсом p_1 распадается на частицы 2 и 3, то спектр m_{02}^2 — П-образный в пределах F^-, F^+ с плотностью

$$\frac{dN}{dm_{02}^2} = \frac{\pi/2}{2m_{01}p_0} = \frac{\pi/2}{2m_{01}p_1} = \frac{\pi/2}{\sqrt{m_{01}^2 - (m_0 + m_1)^2} \sqrt{m_{01}^2 - (m_0 - m_1)^2}}. \quad (11)$$

Усложним теперь задачу. Пусть нас интересует спектр m_{56}^2 в каскаде

$$1 \rightarrow \begin{matrix} 2 \\ \swarrow \searrow \\ 4 \quad 5 \end{matrix} + \begin{matrix} 3 \\ \swarrow \searrow \\ 6 \quad 7 \end{matrix}. \quad (12)$$

Интеграл состояний здесь

$$S = \int \prod_4^7 d^4 p_i \delta(p_1^2 - m_1^2) \delta^4(\sum_4^7 p_i - p_1) \delta((p_4 + p_5)^2 - m_2^2) \delta((p_6 + p_7)^2 - m_3^2).$$

Он после умножения на

$$1 \equiv \int d^4 p_2 \delta^4(p_4 + p_5 - p_2) d^4 p_3 \delta^4(p_6 + p_7 - p_3)$$

обращается в

$$\begin{aligned}
S &= \int d^4 p_2 \delta(p_2^2 - m_2^2) d^4 p_3 \delta(p_3^2 - m_3^2) \delta^4(p_2 + p_3 - p_1) \rightarrow \\
&\rightarrow \int d^4 p_4 \delta(p_4^2 - m_4^2) d^4 p_5 \delta(p_5^2 - m_5^2) \delta^4(p_4 + p_5 - p_2) \rightarrow \\
&\rightarrow \int d^4 p_6 \delta(p_6^2 - m_6^2) d^4 p_7 \delta(p_7^2 - m_7^2) \delta^4(p_6 + p_7 - p_3).
\end{aligned}
\tag{13}$$

Имея в виду найти спектр m_{56}^2 , выделим мысленно в каскаде следующую часть:

$$\begin{array}{c}
5 + \quad 3 \\
\quad \swarrow \searrow \\
\quad 6 \quad 7
\end{array}
\tag{14}$$

Если импульсы p_5 и p_3 фиксированы, мы находимся в условиях Леммы и имеем право написать вместо последнего интеграла

$$\int \frac{\pi/2}{2m_{53} p_3} dm_{56}^2$$

в пределах

$$F^\pm(5, 6, 7, 3, 53).$$

В интеграл и пределы вошла масса m_{53} , являющаяся в нашем каскаде переменной величиной. Чтобы узнать, с каким весом и в каких пределах ее следует брать, изобразим оставшуюся часть каскада так:

$$\begin{array}{c}
1 \rightarrow 3 + \quad 2 \\
\quad \swarrow \searrow \\
\quad 5 \quad 4
\end{array}
\tag{15}$$

Теперь будем считать фиксированными p_2 и p_3 . Опять Лемма позволяет свести предпоследний интеграл в (13) к виду

$$\int \frac{\pi/2}{2m_{23} p_3} dm_{53}^2, \quad m_{53}^2 \in F^\pm(3, 5, 4, 2, 23).$$

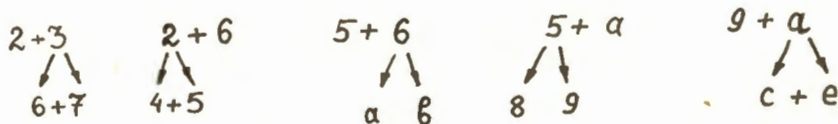
Масса m_{23} в нашем каскаде постоянна ($m_{23} = m_1$). Остается только проинтегрировать по всем направлениям \vec{p}_2, \vec{p}_3 (взять в (13) самый первый интеграл), получая π_{p_2}/m_{23} . Окончательно имеем:

$$S = \frac{\pi p_2}{m_{23}} \int \frac{\pi/2}{2 m_{23} p_3} dm_{36}^2 \int \frac{\pi/2}{2 m_{36} p_3} dm_{36}^2. \quad (16)$$

Чтобы отсюда найти спектр m_{36}^2 , надо переменить порядок интегрирования и т.д. (этим вопросам посвящена работа ^{14/}). Мы не будем здесь заниматься дальнейшими процедурами, нашей целью будет дать общее правило: как писать интегралы типа (16) по схемам типа (12).

Переходя ко все более и более сложным каскадам, мы постепенно выясним общее правило. Сформулируем его на примере каскада рис. 16. Пусть нас в нем интересует спектр m_{36}^2 .

1) Надо мысленно разбить каскад на последовательность подкаскадов, к которым применима Лемма, т.е. на последовательность пар частиц, первая из которых в данном подкаскаде считается стабильной, а вторая распадается на две (рис. 3). В последнем таком подкаскаде должны находиться частицы, которые нас интересуют (θ и ϵ в нашем случае).



Р и с. 3

На распады, не ведущие к интересующим нас частицам, можно не обращать внимания (например, на распад $7 \rightarrow f + g$ на рис. 16).

3) Каждый такой подкаскад дает одно интегрирование в кратном интеграле. Самый первый распад $1 \rightarrow 2 + 3$ дает множитель π_{p_2}/m_1 . Все ос-

гальные - по интегралу типа

$$\int \frac{\pi/2}{2 m_{ik} p_i} dm_{il}^2,$$

где в знаменателе стоит

$$2 m_{ik} p_i = 2 m_{ik} p_k = \sqrt{[m_{ik}^2 - (m_i + m_k)^2][m_{ik}^2 - (m_i - m_k)^2]} -$$

форма, связанная с массой "первого этажа" подкасада, а дифференциал берется от квадрата массы "лестницы в подвал" подкасада (или, что то же, массы первого этажа следующего подкасада). В итоге в нашем случае имеем

$$\begin{aligned} S &= \frac{\pi p_2}{m_{23}} \int \frac{\pi/2}{2 m_{23} p_2} dm_{26}^2 \int \frac{\pi/2}{2 m_{26} p_6} dm_{56}^2 \int \frac{\pi/2}{2 m_{56} p_5} dm_{5a}^2 \rightarrow \\ &\rightarrow \int \frac{\pi/2}{2 m_{5a} p_5} dm_{9a}^2 \int \frac{\pi/2}{2 m_{9a} p_9} dm_{9o}^2. \end{aligned} \quad (17)$$

3) Пределы изменения квадрата массы "лестницы в подвал" есть F^\pm -функция (19) от аргументов, идущих против часовой стрелки (при условии, что лестница спускается слева направо). Например, в нашем случае пределы суть

$$\begin{aligned} m_{26}^2 &: F^\pm(2, 6, 7, 3, 23), \\ m_{56}^2 &: F^\pm(6, 5, 4, 2, 26), \\ m_{5a}^2 &: F^\pm(5, a, b, 6, 56), \\ m_{9a}^2 &: F^\pm(a, 9, 8, 5, 5a), \\ m_{9o}^2 &: F^\pm(9, c, e, a, 9a). \end{aligned} \quad (18)$$

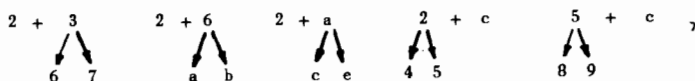
Напомним, что функция F^{\pm} есть сумма : 1) квадрата эффективной массы первого этажа; 2) квадрата массы остающейся частицы (не входящей в "лестницу"); 3) удвоенного скалярного произведения 4-импульсов пары, стоящей на первом этаже, и оставшейся частицы (взятых в системе покоя распавшейся частицы). В первом подкаскаде (см. рис. 3)

$$F^{\pm}(2, 6, 7, 3, 32) = m_{23}^2 + m_7^2 + 2\omega_{23}\omega_7 \pm 2P_{23}P_7, \quad (19)$$

$$\omega_3 = \frac{m_{28}^2 + m_3^2 - m_2^2}{2m_3}, \quad \omega_7 = \frac{m_3^2 + m_7^2 - m_6^2}{2m_3}, \quad p_1^2 = \omega_1^2 - m_1^2.$$

З а м е ч а н и е

Конечно, интеграл (17) - не единственный, из которого можно определить спектр m_{9c}^2 . Если, например, разбить каскад рис. 16 на подкаскады



то будем иметь

$$S = \frac{\pi p_2}{m_{28}} \int \frac{\pi/2}{2m_{23}P_2} dm_{28}^2 \int \frac{\pi/2}{2m_{26}P_2} dm_{2a}^2 \int \frac{\pi/2}{2m_{2a}P_2} dm_{2c}^2 \rightarrow \quad (20)$$

$$\rightarrow \int \frac{\pi/2}{2m_{2c}P_2} dm_{5c}^2 \int \frac{\pi/2}{2m_{5c}P_c} dm_{9c}^2$$

с пределами

$$m_{26}^2 : F^{\pm}(2, 6, 7, 3, 23); \quad m_{2a}^2 : F^{\pm}(2, a, b, 6, 26); \quad m_{2c}^2 : F^{\pm}(2, c, e, a, 2a);$$

$$m_{5c}^2 : F^{\pm}(c, 5, 4, 2, 2c); \quad m_{9c}^2 : F^{\pm}(c, 9, 8, 5, 5c).$$

4) В полученных таким образом кратных интегралах всегда можно знаменатели интеграндов сдвинуть на шаг влево, т.е. записать, например, (16), (17) в виде

$$S = \frac{(\pi/2)^3}{m_1^2} \int \frac{dm_{58}^2}{2m_{58} P_3} \int dm_{56}^2, \quad (16')$$

$$S = \frac{(\pi/2)^6}{m_1^2} \int \frac{dm_{26}^2}{2m_{26} P_5} \int \frac{dm_{56}^2}{2m_{56} P_5} \int \frac{dm_{5a}^2}{2m_{5a} P_5} \int \frac{dm_{8a}^2}{2m_{8a} P_9} \int dm_{90}^2, \quad (17')$$

и вообще в случае, когда для получения спектра $m_{\ell_s}^2$ нужно каскад разбить на n подкаскадов, имеем

$$S = \frac{(\pi/2)^{n+1}}{m_1^2} \int \dots \int \frac{dm_{ik}^2}{\sqrt{m_{ik}^2 - (m_i + m_k)^2} \sqrt{m_{ik}^2 - (m_i - m_k)^2}} \int \dots \int dm_{\ell_s}^2. \quad (21)$$

Многомерные аналоги пространства Далица.

Если ввести функцию ϕ_{ik} с помощью

$$m_{ik}^2 = m_i^2 + m_k^2 + 2m_i m_k \operatorname{ch} \phi_{ik} \quad (22)$$

для всех интегралов, кроме последнего, то подинтегральная функция в (21) обратится в константу

$$S = \frac{(\pi/2)^{n+1}}{m} \int \dots \int d\phi_{ik} \int \dots \int dm_{\ell_s}^2. \quad (23)$$

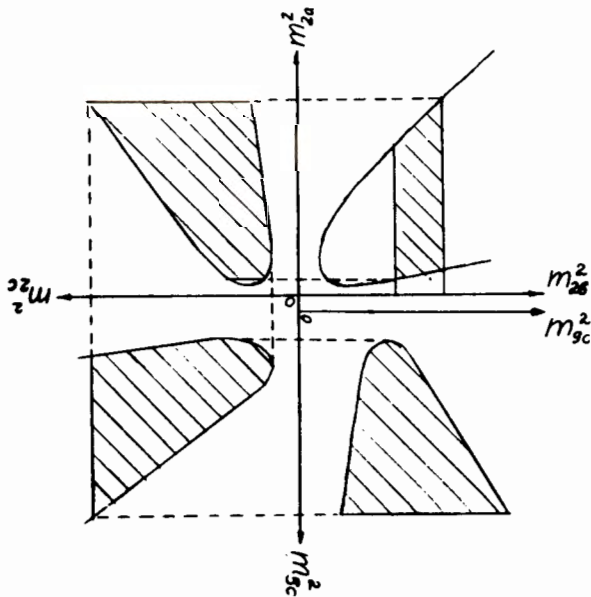
В переменных ϕ_{ik}, m_{ℓ_s} фазовое пространство станет однородным, т.е. станет обладать тем свойством, которым обладает обычная двумерная диа-

грамма: сгущения точек на ней означают проявление динамических закономерностей в распаде. Мы получаем, таким образом, обобщение диаграммы Далица на системы многих частиц – лишь бы эти частицы рождались посредством цепочки двухчастичных распадов.

Правда, большой наглядности от многомерных аналогов фигуры Далица ожидать нельзя. Но для каскадов, кончающихся рождением четырех частиц, сохраняется и наглядность: диаграмма получается двумерной^{/5/}.

Д а л ь н е й ш и е п р е о б р а з о в а н и я . В ы ч и с л и т е л ь - н ы й а л г о р и т м

Чтобы из интегралов типа (16), (17), (20) находить распределение по последней переменной интегрирования, надо уметь менять порядок интегрирования и расставлять пределы. Это, в общем, нетрудно: функция F^{\pm} как функция последнего аргумента есть гипербола (иногда – пара пересекающихся прямых), так что область интегрирования всегда имеет вид, подобный изображенному на рис. 4. В каждом конкретном случае задача решается аналитически: спектр $\pi_{\xi_s}^2$ всегда выражается в квадратурах. Можно было бы сформулировать и общий рецепт. Но формулировка эта будет лишена той лаконичности, которая бы оправдывала усилия на ее усвоение, легче на ряде примеров понять общие



Р и с . 4

идей и пользоваться ими в каждом конкретном случае. Множество таких случаев было разобрано в работе ^{4/}, к которой мы и отсылаем интересующегося.

Вместо аналитических способов мы обратимся сейчас к численным и покажем, что из интегралов типа (21) спектр $m_{\rho a}^2$ легко может быть вычислен на счетной машине.

Пусть нам из формулы (17) предстоит найти спектр $m_{\rho c}^2$. Хотя формулы типа (17'), (21) с виду и сложны, у них есть приятная особенность: каждый последующий интеграл в них есть функция только одной переменной:

$\int dm_{\rho c}^2$ есть функция только $m_{\rho a}^2$, $\int dm_{\rho a}^2 / 2m_{\rho a} \rho_{\rho}$ — функция только $m_{\rho a}^2$ и т.д. Возьмем интервалы изменения каждой переменной интегрирования "с запасом" — так, чтобы истинные пределы F^{\pm} оказались бы заведомо внутри их. С запасом будут, например, следующие пределы (см. рис. 16 и 3):

$$\begin{aligned} m_2 + m_6 &\leq m_{26} \leq m_1 - m_7, \\ m_5 + m_6 &\leq m_{56} \leq m_1 - m_7 - m_4, \\ m_5 + m_a &\leq m_{5a} \leq m_1 - m_7 - m_4 - m_b, \\ m_9 + m_a &\leq m_{9a} \leq m_1 - m_7 - m_4 - m_b - m_8. \end{aligned} \tag{24}$$

Для дискретной совокупности $m_{\rho a}^2$ в этих пределах вычислим спектр $m_{\rho c}^2$ как функцию $m_{\rho a}^2$ (это Π -образные кривые). Затем для каждого $m_{\rho a}^2$, взятого из дискретной совокупности значений в пределах (24), вычислим пределы изменения $m_{\rho c}^2$, и таблички $m_{\rho c}^2$ для $m_{\rho a}^2$, взятых внутри этих пределов, просуммируем с весом $(2m_{\rho a} \rho_{\rho})^{-1}$. В итоге получится для каждого $m_{\rho a}^2$ своя табличка $m_{\rho c}^2(m_{\rho a}^2)$ — спектр $m_{\rho c}^2$, отвечающий этому $m_{\rho a}^2$. Таблички $m_{\rho c}^2(m_{\rho a}^2)$ уже больше не понадобятся, их можно вычеркнуть из памяти машины. Дальше процедура повторится: с каждым новым шагом будут возникать новые таблички: $m_{\rho c}^2(m_{56}^2)$, $m_{\rho c}^2(m_{26}^2)$ и, наконец, $m_{\rho c}^2(m_1^2)$, что и даст искомый спектр. Ясно, что эта процедура легко алгоритмируется и удобна для счета на ЭВМ. По трудоемкости он совпадает с вычислением n двукратных интегралов.

§ 2. Спектры пар в произвольных каскадах

Теперь можно от каскадов, в которые входят только распады на две частицы, перейти к каскадам, в которых могут происходить многочастичные распады. Мы увидим, что такие каскады легко можно свести к каскадам § 1, если включить в интегралы добавочные факторы.

Начнем со следующего примера. Пусть нас интересует спектр $\frac{35}{\pi^7}$ из распада $X \rightarrow \pi \pi \eta$ $\leftarrow \pi \pi \pi$ $\leftarrow \pi \pi \pi$ $\leftarrow \pi \pi \pi$. Интеграл состояний здесь

$$S = \int \prod_2^4 d^4 p_i \delta(p_i^2 - m_i^2) \delta^4(\sum_2^4 p_i - p_1) \int \prod_6^7 d^4 p_i \delta(p_i^2 - m_i^2) \delta^4(\sum_6^7 p_i - p_4) \quad (25)$$

после умножения на

$$1 \equiv \int dm_{34}^2 \delta(p_{34}^2 - m_{34}^2) d^4 p_{34} \delta^4(p_3 + p_4 - p_{34}) dm_{67}^2 \delta(p_{67}^2 - m_{67}^2) d^4 p_{67} \delta(p_6 + p_7 - p_{67})$$

можно представить так:

$$\begin{aligned} S &= \int dm_{34}^2 \int d^4 p_{34} \delta(p_{34}^2 - m_{34}^2) d^4 p_2 \delta(p_2^2 - m_2^2) \delta^4(p_{34} + p_2 - p_1) \rightarrow \\ &\rightarrow \int d^4 p_4 \delta(p_4^2 - m_4^2) d^4 p_3 \delta(p_3^2 - m_3^2) \delta^4(p_4 + p_3 - p_{34}) \rightarrow \\ &\rightarrow \int dm_{67}^2 \int d^4 p_6 \delta(p_6^2 - m_6^2) d^4 p_7 \delta(p_7^2 - m_7^2) \delta^4(p_6 + p_7 - p_{67}) \rightarrow \\ &\rightarrow \int d^4 p_5 \delta(p_5^2 - m_5^2) d^4 p_{67} \delta(p_{67}^2 - m_{67}^2) \delta^4(p_5 + p_{67} - p_4). \end{aligned} \quad (26)$$

Интеграл в каждой строчке этого равенства дает фазовый объем системы двух частиц. Например, первый интеграл равен

$$S_2(1, 2, 3, 4) = \pi p_2 / m_1.$$

второй есть $S_2(34, 3, 4)$, третий — $S_2(67, 6, 7)$, четвертый мы не будем брать до конца, но заменой $p_5 + p_3 \rightarrow p_5$ обратим его в $\int \frac{\pi/2}{2m_{34} p_3} dm_{34}^2$. В итоге

$$S = \int dm_{34}^2 S_2(1,2,34) S_2(34,3,4) \int dm_{67}^2 S_2(67,6,7) \int \frac{\pi/2}{2m_{34}m_{67}} dm_{35}^2 = \quad (27)$$

$$= \frac{\pi^4}{4m_1} \int dm_{34}^2 \frac{p_2}{m_{34}} \int dm_{67}^2 \frac{p_6}{m_{67}} \int dm_{35}^2$$

в пределах

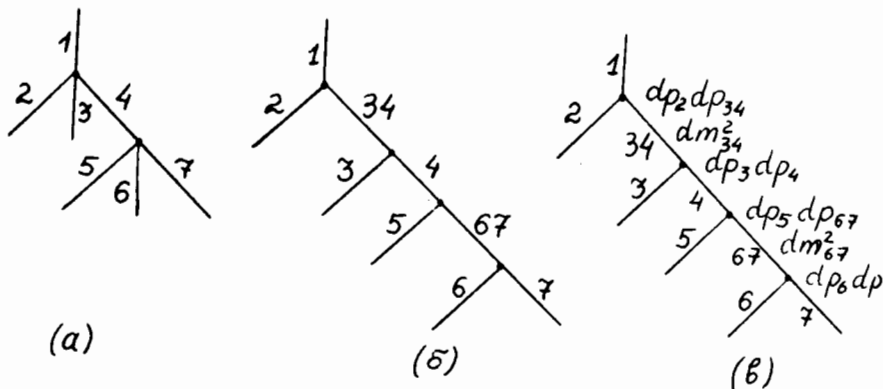
$$(m_3 + m_4)^2 \leq m_{34}^2 \leq (m_1 - m_2)^2,$$

$$(m_6 + m_7)^2 \leq m_{67}^2 \leq (m_4 - m_5)^2, \quad (28)$$

$$m_{35}^2 \sim F^\pm(3,5,67,4,34).$$

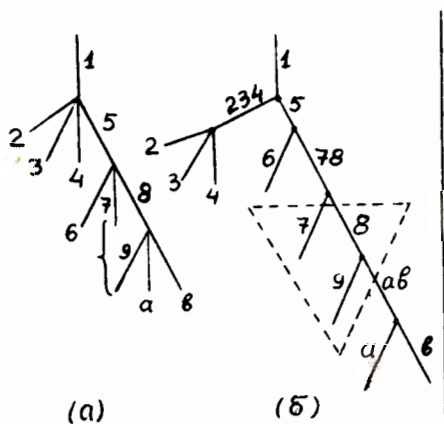
Проследим по схеме каскада, как шел расчет. Это поможет нам понять общее правило. Уравнение (26) означает, что наш каскад (а) мы представили в виде цепочки двухчастичных распадов (б). Если обозначить стоящие в (26) дифференциальные выражения типа

$$d^4 p_1 \delta(p_1^2 - m_1^2) d^4 p_j \delta(p_j^2 - m_j^2) \delta^4(p_1 + p_j - p_{ij}) \quad (29)$$

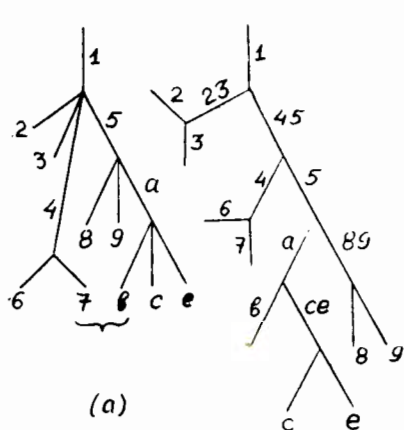


Р и с. 5

сокращенно в виде $dp_i dp_j$, то, чтобы из схемы (б) получить (26), надо против каждого узла поставить $dp_i dp_j$ с индексами, отвечающими выходящим (идущим вниз) из узла линиям (часть (в) рисунка 5). Кроме того, против линий с двойным индексом ij надо поставить dm_{ij}^2 . Затем мы интегрировали по всем дифференциалам в узлах $1 \rightarrow 2 + 34$, $67 \rightarrow 6 + 7$ потому, что стоящие в этих узлах импульсы не имели касательства к интересующей нас массе m_{33}^2 ; вместо $dp_i dp_j$ в этих узлах стало S_2 от соответствующих аргументов. В узле $4 \rightarrow 5 + 67$ мы применили лемму, неинтегрировав в нем по m_{35}^2 ; вместо $dp_8 dp_{87}$ в этом узле стало $\frac{\pi/2}{2 m_{84} p_3} dm_{35}^2$. А тогда в узле $34 \rightarrow 3 + 4$ мы смогли проинтегрировать по всем направлениям p_3 и p_4 , что дало возможность заменить $dp_8 dp_4$ на $S_2(34, 3, 4)$. Осталось только расставить дифференциалы в таком порядке, чтобы пределы интегрирования и подинтегральные выражения определялись однозначно.



Р и с. 6



Р и с. 7

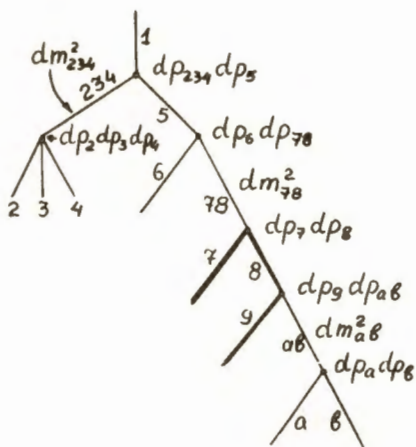
Становится ясно, как поступать в более сложных случаях. Попробуем сформулировать общий рецепт.

1) Если в каскаде произвольной сложности нас интересует спектр масс пары частиц, надо первым делом представить его в виде цепочки распадов на две частицы. Например, каскад рис. 6а представить в виде 6б, а каскад 7а - в виде 7б. Следует обратить внимание на то, что характер разбиения на двухчастичные распады определяется тем, спектр какой пары нас в конце концов интересует (на рис. 6 - пары 78, на рис. 7 - пары 7в). Так, в первом каскаде (рис. 6) мы разбили распад $5 \rightarrow 6+7+8$ на $5 \rightarrow 6+(7+8)$, а не на $5 \rightarrow (6+7)+8$, потому что хотели, чтобы получилась ситуация, отмеченная на рис. 6 треугольником, - это позволило применить лемму предыдущего параграфа.

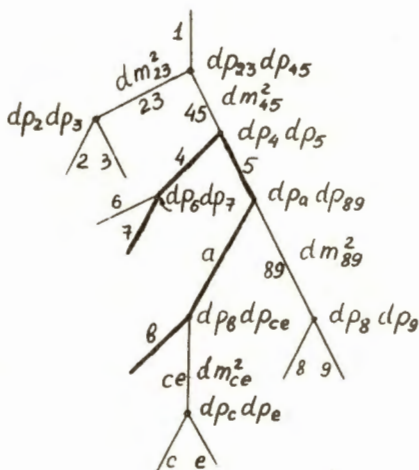
2) Каждой линии с переменной массой ik , т.е. с двойным индексом, составленным из индексов масс двух частиц, i и k , ставится в соответствие дифференциал dm_{ik}^2 . Он будет стоять в интеграле перед факторами, зависящими от m_{ik}^2 .

3) Каждому узлу ставится в соответствие дифференциальная форма (20), обозначаемая $dp_i dp_j$, где i и j - индексы частиц, выходящих из узла (рис. 6в, 7в).

4) Выделяются на схеме линии, отвечающие частицам k, l , чей спектр нас интересует, и линии, соединяющие эти линии (рис. 6в, 7в).



Р и с. 6(в)



Р и с. 7(в)

б) В узлах, в которых имеется больше одной нежирной линии, можно формы $dp_1 dp_j$ заменить на $S_2(ij, i, j)$. формы $dp_i dp_j dp_k$ - на формы $S_3(ijk, i, j, k)$. Кроме того, в самом верхнем из узлов, образованных жирными линиями, тоже ставится S_2 (рис. 6г, 7г).

в) В остальных узлах ставятся вместо $dp_i dp_j$ формы $\frac{\pi/2}{2m_k p_k} dm_{ks}^2$ по правилам, сформулированным в предыдущем параграфе для каскадов, идущих через двухчастичные распады (рис. 6г, 7г).

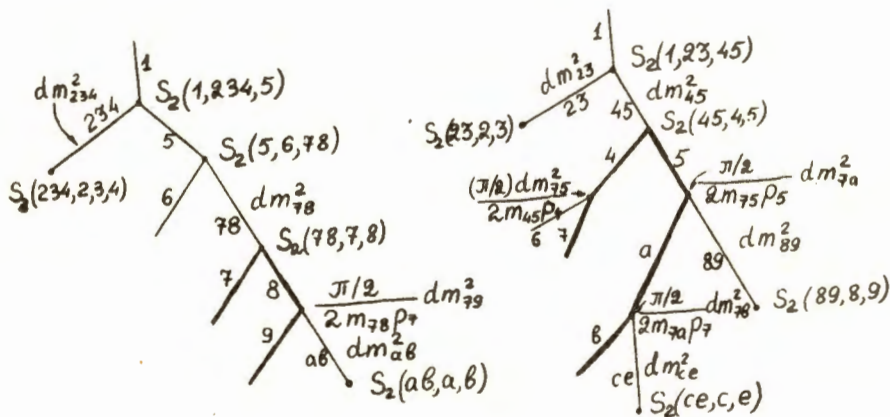


Рис. 6г. и 7г. В тех конечных распадных узлах, где поставлено S_2 или S_3 , сами распады уже не показаны.

В итоге первый каскад (рис. 6а) представится интегралом

$$\begin{aligned}
 S &= \int dm_{234}^2 S_3(234, 2, 3, 4) S_2(1, 234, 5) \int dm_{78}^2 S_2(5, 6, 78) \times \\
 &\times S_2(78, 7, 8) \int dm_{ab}^2 S_2(ab, a, b) \int \frac{\pi/2}{2m_{78} p_7} dm_{79}^2 = \\
 &= \int dm_{234}^2 S_3(234, 2, 3, 4) \frac{\pi p_8}{m_1} \int dm_{78}^2 \frac{\pi^3 p_6}{4m_8 m_{78}^2} \int dm_{ab}^2 \frac{\pi p_a}{m_{ab}} \int dm_{79}^2.
 \end{aligned} \tag{30}$$

в пределах

$$\begin{aligned}
 m_2 + m_3 + m_4 &\leq m_{234} \leq m_1 - m_5, \\
 m_7 + m_8 &\leq m_{78} \leq m_5 - m_6, \\
 m_a + m_b &\leq m_{ab} \leq m_9 - m_9, \\
 m_{79}^2 &\in F^\pm(7, 9, ab, 8, 78).
 \end{aligned}
 \tag{31}$$

Импульсы p_5, p_6 частиц 5, 6 и т.д., стоящие в интеграле, вычисляются в системе покоя тех частиц, которые их родили (по схеме 6б), например,

$$p_9 = \frac{\sqrt{m_8^2 - (m_9 - m_{ab})^2} \sqrt{m_8^2 - (m_9 + m_{ab})^2}}{2m_8}.$$

Второй каскад (рис. 7а) представится интегралом

$$\begin{aligned}
 S &= \int dm_{23}^2 \int dm_{45}^2 S_2(23, 2, 3) S_2(45, 4, 5) S_2(1, 23, 45) \rightarrow \\
 &\rightarrow \int \frac{\pi/2}{2m_{45} p_4} dm_{75}^2 \int dm_{89}^2 S_2(89, 8, 9) \int \frac{\pi/2}{2m_{75} p_5} dm_{7a}^2 \rightarrow \\
 &\rightarrow \int dm_{ce}^2 S_2(c, e, c, e) \int \frac{\pi/2}{2m_{7a} p_7} dm_{7b}^2.
 \end{aligned}$$

После очевидных преобразований имеем

$$\begin{aligned}
 S &= \frac{\pi^8}{16m_1} \int dm_{23}^2 \int dm_{45}^2 \frac{p_2}{m_{23}} \frac{p_{23}}{m_{45}^2} \int \frac{dm_{75}^2}{2m_{75} p_5} \int dm_{89}^2 \frac{p_8}{m_{89}} \rightarrow \\
 &\rightarrow \int \frac{dm_{7a}^2}{2m_{7a} p_7} \int dm_{ce}^2 \frac{p_c}{m_{ce}} \int dm_{7b}^2.
 \end{aligned}
 \tag{32}$$

Пределы

$$\begin{aligned}
 m_2 + m_3 &\leq m_{23} \leq m_1 - m_4 - m_5, \\
 m_4 + m_5 &\leq m_{45} \leq m_1 - m_{23}, \\
 m_{75}^2 &\in F^\pm(5, 7, 6, 4, 45),
 \end{aligned}$$

$$m_8 + m_9 \leq m_{89} \leq m_8 - m_a$$

$$m_{7a}^2 \in F^{\pm}(7, a, 89, 5, 75),$$

$$m_0 + m_0 \leq m_{00} \leq m_a - m_b, \quad (33)$$

$$m_{7b}^2 \in F^{\pm}(7, b, ce, a, 7a).$$

Мы умышленно разобрали столь сложные каскады, чтобы убедиться, что наши правила работают и здесь. Каскады, встречающиеся на практике, много проще; с помощью наших рецептов для них легко получаются в квадратурах спектры любых пар частиц.

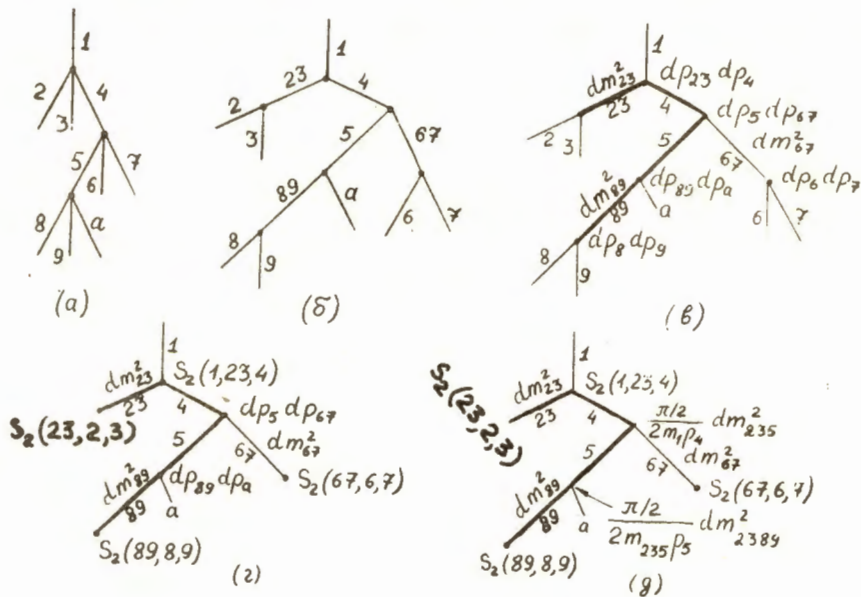
8. Спектры групп из n частиц ($n > 2$)

Теперь уже легко разобрать самый общий случай, когда в каскаде произвольной сложности надо определить спектр группы из n частиц, из числа которых n_1 возникает в одной ветви каскада, n_2 - в другой ($n_1 + n_2 = n$). Впрочем, и это не самый общий случай: может оказаться, что группа n частиц "набрана" из трех и более ветвей каскада ($n_1 + n_2 + n_3 = n$). С такими задачами мы не умеем справляться аналитически, здесь пока остается только моделировать каскад. Спектр же масс группы частиц, взятых только из d в u x ветвей каскада, выражается в квадратурах всегда, по сколь угодно бы частиц из этих двух ветвей ни брать.

Правила обращения с каскадами здесь те же, что и в предыдущем параграфе. Мы еще раз повторим их в применении к достаточно сложному каскаду.

Пусть в каскаде (рис. 8а) нас интересует спектр $m_{23,89}^2$. Действуем в следующем порядке: 1) делаем каскад двухчастичным (б); 2) ставим в каждом узле дифференциальную форму $dp_1 dp_j$ (в); жирными линиями отмечаем последовательность распадов, соединяющих интересующую нас группу 23,89; 3) в узлах, где сходится больше одной нежирной линии, проводим интегрирование до конца, то есть заменяем $dp_1 dp_j$ на S_2 ; то же делаем в са-

мом верхнем узле, из которого выходят две жирные линии (Γ); 4) в остальных узлах применяем лемму, то есть вместо $dp_i dp_j$ ставим $\frac{\pi/2}{2m_{ik} P_i} dm_{ij}^2$.



Р и с. 8

В итоге получаем

$$\begin{aligned}
 S &= \int dm_{23}^2 S_2(1,2,3,4) S_2(23,2,3) \int dm_{67}^2 S_2(67,6,7) \rightarrow \\
 &\rightarrow \int \frac{\pi/2}{2m_1 P_4} dm_{23,5}^2 \int dm_{89}^2 S_2(89,8,9) \int \frac{\pi/2}{2m_{23,5} P_5} dm_{23,89}^2,
 \end{aligned} \tag{34}$$

или после преобразований:

$$S = \frac{\pi^5}{4m_1^2} \int dm_{23}^2 \frac{P_2}{m_{23}} \int dm_{67}^2 \frac{P_6}{m_{67}} \int \frac{dm_{23,5}^2}{2m_{23,5} P_5} \int dm_{89}^2 \frac{P_8}{m_{89}} \int dm_{23,89}^2 \tag{35}$$

в пределах

$$\begin{aligned}
 m_2 + m_3 &\leq m_{23} \leq m_1 - m_4, \\
 m_6 + m_7 &\leq m_{67} \leq m_4 - m_8, \\
 m_{23,6}^2 &\in F^\pm(23, 5, 67, 4, 1), \\
 m_8 + m_9 &\leq m_{89} \leq m_5 - m_a, \\
 m_{23,89}^2 &\in F^\pm(23, 89, a, 5; 23\ 5).
 \end{aligned}
 \tag{36}$$

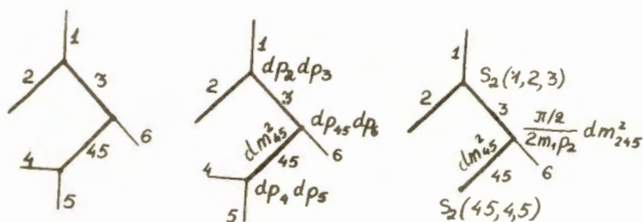
До сих пор мы всюду считали массы возникающих в каскаде частиц фиксированными. Ничто не мешает, однако, учесть размазанность масс короткоживущих резонансов: если масса некоторой частицы i , входящей в каскад, размазана по известному закону $\Gamma(m_i^2)$, то надо ввести интеграл $\int \Gamma(m_i^2) dm_i^2$ перед теми интегралами, куда входит m_i^2 .

§ 4. П р и м е р ы

Может показаться, что интегралы, возникающие в каскадах с трехчастичными распадами (§2) и при расчете спектров масс более чем двух частиц (§3), чересчур сложны. Действительно, в отличие от каскадов §1, состоящих из двухчастичных распадов, здесь не удается дать общий, пригодный для любых каскадов, алгоритм счета на ЭВМ. Однако в практически важных случаях всегда можно дать аналитическое решение. Вот два примера.

1. Пусть в распаде $X \rightarrow \Lambda \overset{3}{\eta} \overset{4}{\pi} \overset{5}{\pi} \overset{6}{\pi}$ нас интересует, каков будет спектр $m_{\Lambda\pi\pi}^2$ в предположении, что диаграмма Далица η -мезона заселена равномерно. Следуя правилам §2, чертим последовательность диаграмм (рис. 9) и пишем

$$\begin{aligned}
 S &= S_2(1, 2, 3) \int dm_{45}^2 S_2(45, 4, 5) \int \frac{\pi/2}{2m_1 p_2} dm_{245}^2 = \\
 &= \frac{\pi^3}{4m_1^2} \int dm_{45}^2 \frac{p_4}{m_{45}} \int dm_{245}^2.
 \end{aligned}$$



Р и с. 9

в пределах

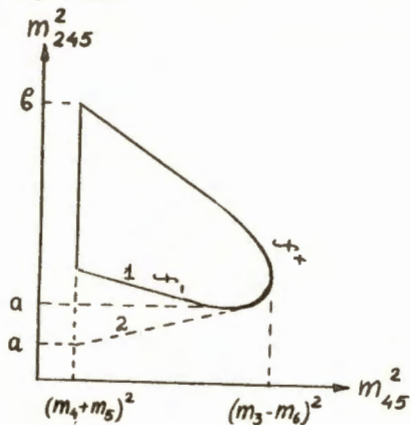
$$m_4 + m_5 \leq m_{45} \leq m_3 - m_6,$$

$$m_{245}^2 \in F^{\pm}(2, 45, 6, 3, 1) \equiv m_1^2 + m_6^2 + 2\omega_1 \omega_6 \pm 2p_1 p_6, \quad (38)$$

где

$$\omega_1 = \frac{m_1^2 + m_3^2 - m_2^2}{2m_3}, \quad \omega_6 = \frac{m_3^2 + m_6^2 - m_{45}^2}{2m_3}.$$

Область интегрирования, в зависимости от соотношения масс, ограничена на рис. 10 либо линией 1, либо линией 2. Спектр $m_{\Lambda\pi\pi}^2$ получится после перемены порядка интегрирования



Р и с. 10

$$S = \frac{\pi^3}{8m_1^2} \int_a^b dm_{245}^2 \int_{\max[(m_4+m_5)^2, f^-]}^{f^+} dm_{\pi\pi}^2 \sqrt{1 - \frac{4m_{\pi\pi}^2}{m_{245}^2}}$$

Чтобы найти f^\pm , надо найти экстремум $(p_4 + p_5)^2$ при заданных

$$(p_4 + p_5 + p_6)^2 = m_3^2, (p_2 + p_3)^2 = m_1^2, (p_2 + p_4 + p_5)^2 = m_{245}^2$$

$$f^\pm = m_3^2 + m_6^2 - 2\omega_3 \omega_6 \pm 2p_3 p_6, \omega_3 = \frac{m_1^2 + m_3^2 - m_2^2}{2m_1}, \omega_6 = \frac{m_1^2 + m_6^2 - m_{245}^2}{2m_1}$$

Интеграл здесь берется, он равен

$$\phi(m_{\pi\pi}^2) = m_{\pi\pi}^2 \sqrt{m_{\pi\pi}^2 - 4m_{\pi}^2} - 4m_{\pi}^2 \ln \frac{m_{\pi\pi}^2 + \sqrt{m_{\pi\pi}^2 - 4m_{\pi}^2}}{2m_{\pi}}$$

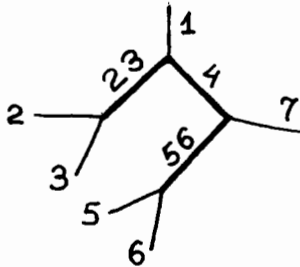
Окончательно имеем: спектр (ненормированный) $m_{\pi\pi}^2$ заключен в пределах

$$a \leq m_{\pi\pi}^2 \leq b$$

и внутри них равен

$$\frac{dN}{dm_{\pi\pi}^2 \Lambda m} = \Phi(f^+) - \Phi(\max[f^-, 4m_{\pi}^2]). \quad (39)$$

2. Другой пример: в возможном распаде $K_1^0 \rightarrow \pi_2^+ \pi_3^- \pi_4^0$ узнать спектр масс $\pi^+ \pi^- e^+ e^-$. Диаграмма распада здесь такова



Значит, интеграл состояний равен

$$\begin{aligned}
 S &= \int dm_{23}^2 S_2(23, 2, 3) S_2(1, 23, 4) \int dm_{56}^2 S_2(56, 5, 6) \int \frac{\pi/2}{2m_1 p_4} dm_{2356}^2 = \\
 &= \int dm_{23}^2 \frac{\pi p_2}{m_{23}} \frac{\pi p_4}{m_1} \int dm_{56}^2 \frac{\pi p_5}{m_{56}} \int \frac{\pi/2}{2m_1 p_4} dm_{2356}^2 =
 \end{aligned}
 \tag{40}$$

$$= \frac{\pi^4}{4m_K^2} \int dm_{\pi\pi}^2 \sqrt{1 - \frac{4m_K^2}{m_{\pi\pi}^2}} \int dm_{e^+e^-}^2 \sqrt{1 - \frac{4m_e^2}{m_{e^+e^-}^2}} \int dm_{\pi^+\pi^0}^2$$

в пределах

$$\begin{aligned}
 2m_{\pi} &\leq m_{\pi\pi} \leq m_K - m_{\pi^0}, \\
 2m_e &\leq m_{e^+e^-} \leq m_{\pi^0},
 \end{aligned}
 \tag{41}$$

$$m_{\pi^+\pi^0}^2 \in F^{\pm}(23, 56, 7, 4, 1) = m_K^2 - 2(\omega_K + p_K) \omega_{\gamma},$$

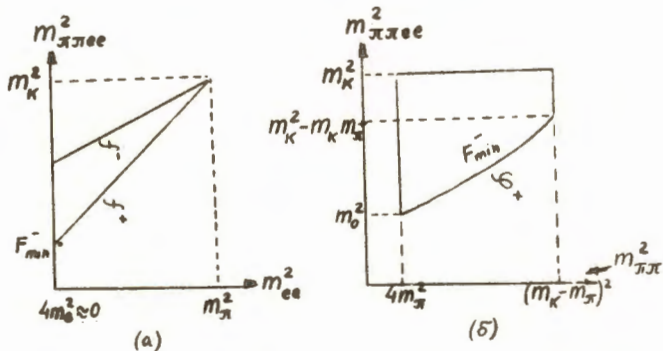
где

$$\omega_K = \frac{m_K^2 + m_{\pi^0}^2 - m_{\pi\pi}^2}{2m_{\pi\pi}}, \quad \omega_{\gamma} = \frac{m_{\pi^0}^2 - m_{e^+e^-}^2}{2m_{\pi^0}}.$$

Чтобы отсюда найти спектр $m_{\pi^+\pi^0}^2$, надо для каждой пары $m_{\pi\pi}^2, m_{e^+e^-}^2$ вычислить спектр $m_{\pi^+\pi^0}^2$ и сложить эти спектры с весами $(1 - 4m_{\pi}^2/m_{\pi\pi}^2)^{1/2} (1 - 4m_e^2/m_{e^+e^-}^2)^{1/2}$.

Можно даже учесть тот факт, что пара e^+e^- рождается из виртуального γ -кванта, внося в матричный элемент полюсной член $m_{e^+e^-}^{-4}$. От этого члена в веса войдет добавочный фактор $m_{e^+e^-}^{-4}$. Но можно спектр $m_{\pi^+\pi^0}^2$ вычис-

лить и аналитически. Зависимость F^\pm от $m_{\pi\pi}^2$ при постоянном $m_{\pi\pi}^2$ есть прямая линия (рис. 11,а). Переставим местами интегрирование по $m_{\pi\pi}^2$ и по $m_{\pi\pi}^2$.



Р и с. 11

$$S = \frac{\pi^4}{4m_K^2} \int_{4m_0^2}^{m_{\pi\pi}^2} dm_{\pi\pi}^2 \sqrt{1 - \frac{4m_{\pi\pi}^2}{m_K^2}} \int_{F_{min}^-}^{m_K^2} dm_{\pi\pi}^2 \int_{\max[(2m_0^2)^2, f^-]}^{f^+} dm_{\pi\pi}^2 \sqrt{1 - \frac{4m_{\pi\pi}^2}{m_{\pi\pi}^2}},$$

где F_{min}^- получается из (41) при $\omega_\gamma \approx m_\pi/2$, а

$$f^\pm = m_{\pi}^2 - m_{\pi}^2 \frac{m_K^2 - m_{\pi\pi}^2}{\omega_K \pm p_K}$$

Область интегрирования по $m_{\pi\pi}^2$, $m_{\pi\pi}^2$ имеет вид, как на рис. 11 б. Теперь снова меняем порядок интегрирования:

$$S = \frac{\pi^4}{4m_K^2} \int_{m_0^2}^{m_K^2} dm_{\pi\pi}^2 \int_{\frac{m_K^2 - m_{\pi\pi}^2}{2m_{\pi}^2}}^{\min[\phi^+, (m_K^2 - m_{\pi}^2)^2]} dm_{\pi\pi}^2 \sqrt{1 - \frac{4m_{\pi\pi}^2}{m_K^2}} \int_{\max(4m_0^2, f^-)}^{f^+} dm_{\pi\pi}^2 \sqrt{1 - \frac{4m_{\pi\pi}^2}{m_{\pi\pi}^2}}, \quad (42)$$

где

$$m_0^2 = F^- (m_{\pi\pi}^2 = 4m_{\pi}^2, m_{\pi\pi}^2 = 4m_0^2),$$

а ϕ^+ - решение уравнения

$$m_K^2 - 2(\omega_K + p_K) \frac{m_\pi}{2} = m_{\pi\pi}^2$$

относительно $m_{\pi\pi}^2$, а именно:

$$\phi^+ = m_{\pi\pi}^2 + m_\pi^2 - \frac{m_K^2 m_\pi^2}{m_K^2 - m_{\pi\pi}^2}$$

Двойной интеграл, стоящий в (42) вслед за $dm_{\pi\pi}^2$, даст спектр эффективных масс $m_{\pi\pi}^2$. Он изображен на рис. 12.

8 Б. Заключение

Рецепты, приведенные в этой работе, позволяют единообразным путем приступать к расчету спектров эффективных масс в весьма сложных каскадах. С их помощью, кроме вычисления фона резонансов, можно решать и другую, более простую задачу: вычисление пределов, которые ограничивают в таком-то каскаде массу такой-то группы частиц (для получения ответа достаточно вычислить пределы интегрирования в наших интегралах). Поэтому мы не останавливались на ней особо, хотя именно она должна в первую очередь решаться, когда судят о возможном влиянии одного интеграла на другой. Каким бы сложным ни был каскад, расчет последовательности функций F^\pm , введенных нами, ответит на вопрос о границах изменения эффективной массы той или иной группы частиц.

Л и т е р а т у р а

1. Г.И. Копылов, ЖЭТФ, 35, 1426 (1958); 39, 1091 (1960).
2. В.Е. Комолова, Г.И. Копылов. Препринт ОИЯИ, Р-2027, Дубна, 1965.
3. Г.И. Копылов. ЖЭТФ, 46, 2063 (1964).
4. Г.И. Копылов. Препринт ОИЯИ, Р1-3048, Дубна, 1966.

5. Г.И. Копылов. Препринт ОИЯИ, Р1-3049, Дубна, 1966.

6. Ван Юн-Чан, Ким Хи Ин, Е.Н. Кладницкая, Г.И. Копылов, А.А.Кузнецов, Н.Н. Мельникова, Нгуен Дин Ты, Е.С. Соколова. Препринт ОИЯИ, Р-1615, Дубна, 1964; Труды XII Международной конференции по физике высоких энергий, Дубна, 1964 г., т.1, стр.615.

Рукопись поступила в издательский отдел
9 февраля 1967 г.

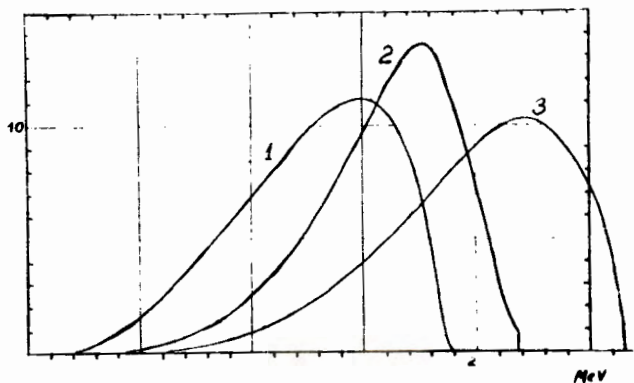


Рис. 12. Спектры эффективных масс (отсчитываемые от суммы масс покоя):
 1) $\pi^+ \pi^- e^+ e^-$ в распаде $K \rightarrow \pi^+ \pi^- \pi^0$; 2) то же с учетом по-
 ложного члена; $\leftarrow e^+ e^- \gamma$
 3) $\pi^+ \pi^- \pi^+ \pi^-$ в распаде $X \rightarrow \pi^+ \pi^- \eta$ $\leftarrow \pi^+ \pi^- \pi^0$.
 Рассчитаны по формулам типа (40). Нормированы на 1.